## BEITRÄGE ZUR GEOLOGIE DER SCHWEIZ KLEINERE MITTEILUNGEN

Nr. 28

# Untersuchungen über radioaktive Mineralien und Gesteine in der Schweiz

### Die Verteilung von U-Th, Na, K und Ca im Rotondogranit

von

L. RYBACH, ST. HAFNER und M. WEIBEL

#### Vorwort der Schweizerischen Geotechnischen Kommission und des Arbeitsausschusses für die Untersuchung schweizerischer Mineralien und Gesteine auf Atombrennstoffe und seltene Elemente

Die nachfolgende Studie "Die Verteilung von U-Th, Na, K und Ca im Rotondogranit" von L. Rybach, St. Hafner und M. Weibel bildet die Fortsetzung der "Radioaktivitätsmessungen an Gesteinen des St.-Gotthard-Profils" (Kleinere Mitteilungen Nr. 25). Sie befasst sich erstmalig an einem petrographisch sehr einheitlichen Granit eines alpinen Zentralmassives systematisch mit der  $\gamma$ -Radioaktivitätsverteilung in Beziehung zu den Gehalten an Alkalien und Calcium. Die beiden Organe möchten den Autoren für die gründliche Arbeit bestens danken.

Die Untersuchung erfolgte im Rahmen des Forschungsprogrammes des Arbeitsausschusses. Dieser verdankt seine Tätigkeit den Mitteln, die ihm die Kommission für Atomwissenschaften des Schweiz. Nationalfonds gewährt.

Für den Inhalt von Text und Figuren sind die Autoren allein verantwortlich.

Zürich, den 3. November 1962.

Der Präsident der Schweiz. Geotechnischen Kommission und des Arbeitsausschusses

Prof. F. DE QUERVAIN

### Die Verteilung von U-Th, Na, K und Ca im Rotondogranit\*)

Von Ladislaus Rybach, Stefan Hafner und Max Weibel (Zürich)

Mit 9 Textfiguren

#### Zusammenfassung

Die γ-Aktivität, sowie der Na<sub>2</sub>O-, K<sub>2</sub>O- und CaO-Gehalt verschiedener Proben des Rotondogranits wurden bestimmt. Aus der γ-Aktivität der Proben wurde der U-Th-Gehalt ermittelt. Das westliche Hauptmassiv des Granitstocks weist im Vergleich zu den übrigen granitischen Gesteinen des Gotthardmassivs (z. B. Fibbia- und Gamsbodengneis) eine deutlich erhöhte γ-Aktivität sowie einen ausgesprochen geringen CaO-Gehalt auf. Der Kern des westlichen Hauptmassivs ist ärmer an U-Th und etwas ärmer an Na. Der östliche Ausläufer des Rotondogranits, der sogenannte "Lucendro-" und der sogenannte "Tremolagranit", unterscheiden sich bezüglich ihres U-Th-Gehalts vom eigentlichen Rotondogranit. Ihre Werte sind denjenigen des Fibbiagneises sehr ähnlich.

#### Abstract

The  $\gamma$ -activity as well as the Na<sub>2</sub>O, K<sub>2</sub>O and CaO contents of several samples of the Rotondo granite were measured. The U-Th contents of the samples were determined from the  $\gamma$ -activity. The western part of the main granite mass shows a clearly higher  $\gamma$ -activity as well as a considerably lower CaO content than the other granitic rocks of the Gotthard massif (e. g. Fibbia and Gamsboden gneiss). The core of the main western granite mass is poorer in U-Th and slightly poorer in Na. The eastern extension of the Rotondo granite, the so-called "Lucendro" and "Tremola" granites, differ in their U-Th-contents from the Rotondo granite s. s.; these contents are similar to those of the Fibbia gneiss.

#### 1. Einleitung

Seit einiger Zeit hat sich erwiesen, dass der *Rotondogranit* — ein Biotit-Albitgranit des Gotthardmassivs — eine Reihe von Merkmalen aufzeigt, die ihn von den übrigen granitischen Gesteinen des Massivs, wie Fibbiagneis, Gamsbodengneis, Medelsergranit, absondern. Solche Merkmale sind zum Beispiel die auffallend schwache Überprägung nach

<sup>\*)</sup> Erscheint gleichzeitig als "Beiträge zur Geologie der Schweiz, Kleinere Mitteilungen Nr. 28".

der Granitbildung oder die durchwegs scharfen Kontakte zum Nebengestein. Vielleicht ein besonders charakteristisches Kennzeichen ist das Zirkon-Alter einer Granitprobe vom Chüebodenhorn (vgl. Tab. 1).

Die Sonderstellung des Rotondogranits in den Zentralalpen schien uns Berechtigung zu geben, die  $\gamma$ -Aktivität und die Verteilung des Na<sub>2</sub>O-, K<sub>2</sub>O- und CaO-Gehalts im Granitkörper etwas gründlicher zu untersuchen. Es bestand dabei die Hoffnung, weitere Tatsachen zu gewinnen, die sich für die Diskussion über Alter, Entstehung sowie Verhältnis des Granits zu den übrigen granitischen Gesteinen des Gotthardmassivs oder zu irgendwelchen Granitkörpern als wertvoll erweisen könnten. Über die Problematik, die mit Alter und Entstehung des Rotondogranits verbunden ist, wurde an anderer Stelle ausführlich berichtet (siehe S. 169—207 dieses Bandes).

Tabelle 1. Zirkon-Alter in granitischen Gesteinen des Gotthardmassivs. Mittel der  $U^{238}/Pb^{206}$ -,  $U^{235}/Pb^{207}$ - und  $Pb^{207}/Pb^{206}$ -Alter (nach Grünen-Felder, 1962).

Rotondogranit	$150 \cdot 10^6$ a
Fibbiagneis	$325 \cdot 10^6 a$
Gamsbodengneis	$285 \cdot 10^{6} a$
Medelsergranit	315·10 <sup>6</sup> a

#### 2. Wahl der Gesteinsproben

64 über das Rotondomassiv möglichst gleichmässig¹) verteilte Proben wurden ausgewählt. 52 Proben stammen aus dem westlichen Hauptmassiv, 12 aus dem östlichen, schmalen Ausläufer, nämlich 8 aus dem sogenannten "Lucendrogranit" und 4 aus dem sogenannten "Tremolagranit" an der St. Gotthardstrasse. An 33 Proben wurde flammenphotometrisch der K₂O- und Na₂O-Gehalt und titrimetrisch der CaO-Gehalt bestimmt. Die Messwertdichte beträgt 2,2 Proben/km² für die Radioaktivitätsmessungen und 1,1 Proben/km² für die chemischen Analysen. Über die Fundorte und über die Auswahl für die Analyse geben Fig. 7—8 und Tab. 3 Aufschluss.

Da es praktisch nicht möglich war, an jedem Fundort ganz frisches Material zu erhalten, wurde der "Verwitterungsgrad<sup>2</sup>)" am Handstück abgeschätzt und der Probe ein Index (a—d, je nach der Stärke der Anwitterung) beigegeben (vgl. Tab. 3).

<sup>1)</sup> Soweit es die Begehbarkeit des Massivs erlaubte.

<sup>&</sup>lt;sup>2</sup>) Besser "Anwitterungsgrad". Alle Proben erscheinen im Dünnschliff unzersetzt.

#### 3. Messung der y-Aktivität

Die γ-Radioaktivität (Totalaktivität,  $\alpha_{tot}$ ) der Gesteinsproben wurde etwa5 Wochen nach erfolgter Pulverisierung mit der von Rybach (1961) beschriebenen Szintillometeranordnung gemessen. Die Restaktivität  $\alpha_r$ , welche man nach Abzug des vom Kaliumgehalt der Probe herrührenden Strahlungsanteils erhält, wurde (wie allgemein üblich) in *Uranäquivalent*-Einheiten (ppm eU) ausgedrückt. Für die Korrektur der chemisch nicht analysierten Proben wurde mit dem  $K_2$ O-Mittelwert sämtlicher Proben des Granits gerechnet; der hier eingeschlagene Weg blieb also genau derselbe wie derjenige in Rybach und Hafner (1962), im Gegensatz zu Leible (1959), der den  $K_2$ O-Gehalt anhand von Modalanalysen zu ermitteln versuchte. Die Resultate sind in den Kolonnen 6 bis 8 von Tab. 3 zu finden. Die Genauigkeit der angeführten Werte beträgt im Mittel  $\pm 2\%$ , was durch Messung der entsprechenden Impulszahl bei einem Signal-/Rausehverhältnis von rund 7:1 erreicht wurde.

Die Uranäquivalent-Werte sind deutlich höher als die tatsächliche Urankonzentration und sind etwas niedriger als der Thoriumgehalt. Um genaue Angaben machen zu können, sollte die Messapparatur auch für Thorium geeicht werden; zudem sollte noch das Th/U-Verhältnis in jeder Probe bekannt sein. Über die Strahlungsanteile des Urans und des Thoriums in derselben Probe lässt sich in erster Näherung folgendes sagen:

Die totale γ-Aktivität der Probe setzt sich zusammen gemäss

(1) 
$$\alpha_{\text{tot}} = f_{\mathbf{U}} \cdot c_{\mathbf{U}} + f_{\mathbf{Th}} \cdot c_{\mathbf{Th}} + f_{\mathbf{K}}^{\bullet} \cdot c_{\mathbf{K}}, \text{ oder}$$

(2) 
$$\alpha_{\text{tot}} - f_{K} \cdot c_{K} = \alpha_{r} = f_{U} \cdot c_{U} + f_{Th} \cdot c_{Th}.$$

Hier bedeuten  $c_U$ ,  $c_{Th}$  und  $c_K$  die Uran-, Thorium- und Kalium-Konzentrationen in ppm bzw. %;  $f_U$ ,  $f_{Th}$  und  $f_K$  die entsprechenden Eichfaktoren in cpm/g, ppm bzw. %. Gleichung (2) kann man folgendermassen schreiben:

$$\frac{\alpha_{\rm r}}{c_{\rm Th}} = f_{\rm U} \frac{c_{\rm U}}{c_{\rm Th}} + f_{\rm Th}.$$

Mit den Annahmen, dass

- a) für sämtliche Gesteinsproben  $c_U/c_{Th} \cong \text{konst} \cong 1/3,2$  (Keevil, 1944), ferner
- b) für die verwendete Apparatur (welche ein integrales  $\gamma$ -Spektrum misst)  $f_{Th} \cong \frac{1}{2} f_U$  ( $f_U = 0.075 \text{ cpm/g, ppmU}$ ) gilt,

erhalten wir

(4) 
$$c_{Th} \simeq 16.4 \alpha_r$$
, und auf ähnliche Art

(5) 
$$c_{\rm U} \simeq 5.12 \alpha_{\rm r}$$
.

Dies bedeutet, dass zum Beispiel eine Probe mit  $\alpha_r = 2,00 \text{ cpm/g}$  (was 26,6 ppm eU entspricht), etwa 10,2 ppm U und 32,8 ppm Th enthält.

#### 4. Chemische Bestimmungen

Die einzelnen pulverisierten Gesteinsproben wurden systematisch bis auf eine Menge von etwa 0,5 g verjüngt, in einem Stahlmörser weitgehend zerkleinert und schliesslich in einer Achatschale fein zerrieben. Als Analyseverfahren dienten die Schnellmethoden nach Weibel (1961).

- a) Aufschluss. Je 100 mg der Gesteinspulver wurden mit HF und  $HClO_4$  in Platintiegeln aufgeschlossen. Die überschüssige Flusssäure wurde durch zweimaliges Abrauchen mit Perchlorsäure verdrängt.
- b)  $Na_2O$  und  $K_2O$ -Bestimmung. Vor der flammenphotometrischen Messung wurden die zwei- und mehrwertigen Kationen mittels Ammoniak und Ammoncarbonat ausgefällt. Die alkalischen Lösungen wurden mitsamt dem Niederschlag in Poliäthylenfläschehen über Nacht stehen gelassen und darauf die überstehende, klare Lösung für die definitive Messung abgenommen. Das EEL-Flammenphotometer Modell A (Evans Electroselenium Ltd.) wurde mit Lösungen von 12 mg Na<sub>2</sub>O und 12 mg K<sub>2</sub>O pro Liter auf Vollausschlag gestellt. Für die Flamme wurde im Gegensatz zu Willgallis (1957), der mit Leuchtgas arbeitete Propangas verwendet. Um die Schwankungen der Galvanometermarke zu verhindern, wurde der Gasdruck mit Hilfe von Druckreduzierventilen auf rund 400 mm WS konstant gehalten. Der Luftdruck betrug 0,68 atü.

Jeder Aufschluss wurde zweimal wiederholt, grobe Fehler sind dadurch ausgeschlossen. Die Reproduzierbarkeit beträgt auf diese Weise 0,05 Gew.%, das heisst rund ein Rel.% des betreffenden Mittelwertes (siehe auch Mehnert und Willgallis, 1957).

c) CaO-Bestimmung. Calcium wurde titrimetrisch mit Komplexon III (EDTA) 0,01 m bestimmt. Als Indikator diente HHSNN (2-Hydroxy-4-sulfo-1-naphtylazo-3-naphtoesäure). Durch Zugabe von NaOH wurde der pH auf 13 gebracht, so dass Al und Mg nicht mehr störten. Der Einfluss von Fe und Ti wurde mit Triäthanolamin ausgeschaltet.

Die CaO-Bestimmungen wurden an der zweiten Aufschlussserie wiederholt; der mittlere Fehler beträgt hier etwa 0,02 Gew.% (rund 5% des bestimmten Wertes).

#### 5. Diskussion

#### a) Einfluss der Verwitterung

In den Figuren 1 bis 4 sind die chemisch, beziehungsweise radiometrisch bestimmten Werte eingezeichnet. Sie sind nach dem Verwitterungsgrad der betreffenden Gesteinsprobe geordnet. Die Indizes a bis d bedeuten: a = sehr frisch, b = frisch, c = rel. frisch, d = angewittert.

Danach ist der Streubereich des U-Th beziehungsweise des Ca für frische und verwitterte Proben etwa gleich gross (Fig. 1 und 2). Bei Na und K nimmt die Streuung mit zunehmendem Verwitterungsgrad etwas

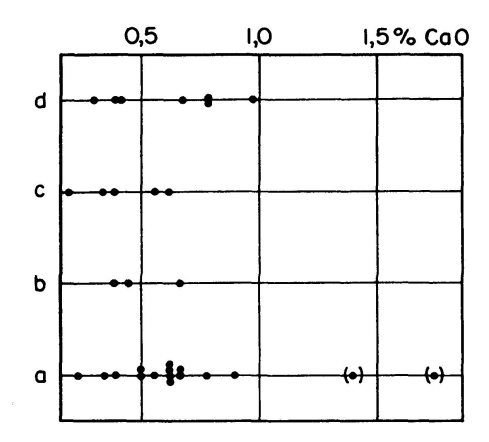


Fig. 1. Gesteinsverwitterung und CaO-Gehalt. Sämtliche untersuchten Proben sind eingetragen.

(·): Gneisschollen.

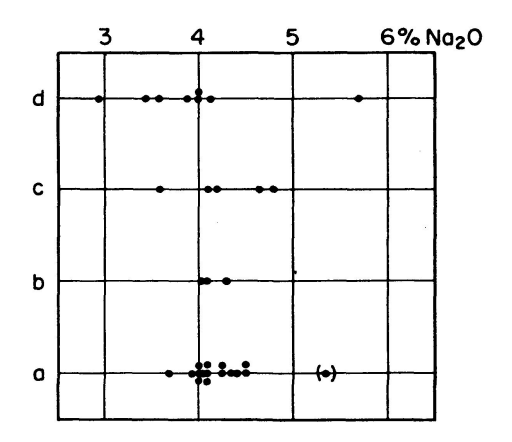


Fig. 3. Gesteinsverwitterung und Na<sub>2</sub>O-Gehalt. Sämtliche untersuchten Proben sind eingetragen.

(·): Gneisscholle.

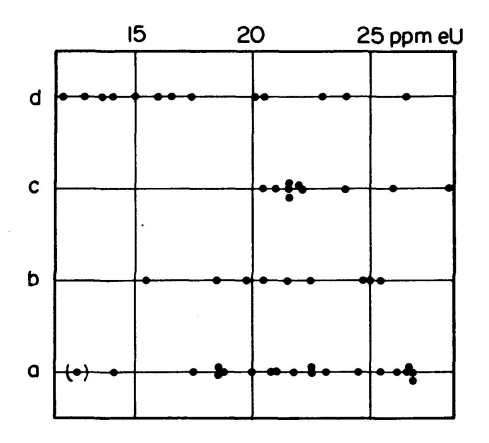


Fig. 2. Gesteinsverwitterung und U-Th-Gehalt. Die Proben aus dem westlichen Hauptmassiv sind eingetragen.

(·): Gneisscholle.

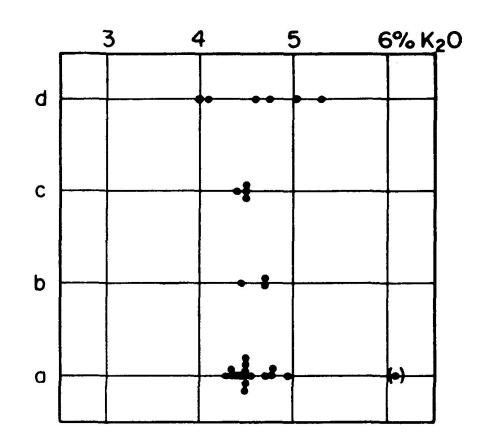


Fig. 4. Gesteinsverwitterung und K<sub>2</sub>O-Gehalt. Sämtliche untersuchten Proben sind eingetragen.

(·): Gneisscholle.

zu (Fig. 3 und 4). Die Mittelwerte verändern sich jedoch praktisch nicht. Zu ähnlichen Resultaten gelangten Mehnert und Willgallis (1961) im Falle des Na und K.

#### b) Die Verteilung der U-Th-, Na<sub>2</sub>O-, K<sub>2</sub>O- und CaO-Gehalte

In Fig. 5 bis 7 sind die Na<sub>2</sub>O-, K<sub>2</sub>O- und CaO-Gehalte des Granits gegeben. K<sub>2</sub>O und CaO verteilen sich praktisch zufällig über die Fläche. Der Granitstock weist bezüglich dieser Elemente keinen Zonarbau auf. Die CaO-Werte sind im Vergleich zu anderen granitischen Gesteinen des Gotthardmassivs ausserordentlich klein. Dies entspricht der Tatsache, dass der Albit des Granits oft überhaupt keinen Anorthitgehalt hat (0%, vgl. Grünenfelder und Hafner, 1962). CaO dürfte darum ein ungefähres Mass für den Granatgehalt der Granitprobe sein. Die Feststellung, dass das Calcium überall etwa mit der gleichen Häufigkeit auftritt, deckt sich mit der Feldbeobachtung, dass der Granatgehalt ein sehr charakteristisches Kennzeichen des Granits ist und sich keineswegs etwa nur auf Kontaktregionen beschränkt.

Die Na<sub>2</sub>O-Verteilung des Granits ist leicht zonar; im innersten Kern des Rotondomassivs ist der Durchschnitt der Werte etwas geringer (Fig. 7). Immerhin fällt auf, dass sich der Na<sub>2</sub>O-Gehalt gegen den Granitkontakt hin nirgends deutlich erhöht. Dasselbe gilt für die nach Niggli

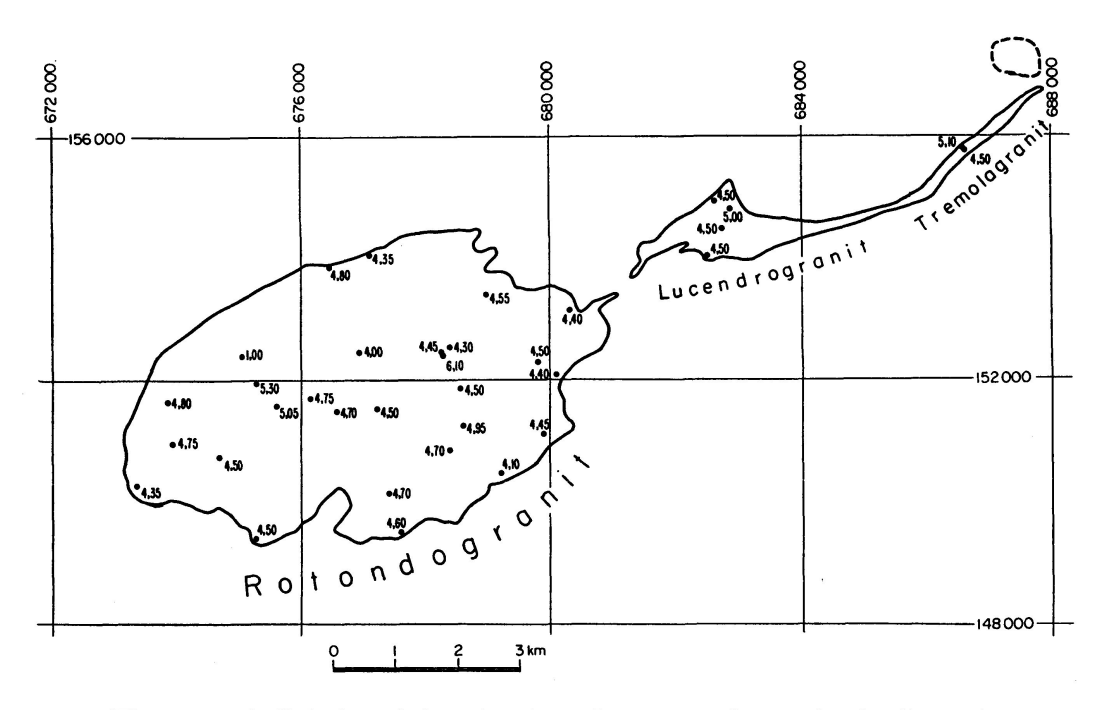


Fig. 5. K<sub>2</sub>O-Gehalte einiger Proben des Rotondogranits in Gew. %.

berechneten k-Werte (Tab. 3). Die Werte — etwa 9 analysierte Proben liegen innerhalb 200 Meter von der Kontaktgrenze — geben somit keine Hinweise für die Existenz einer natriumreichen, aplitischen Randfazies

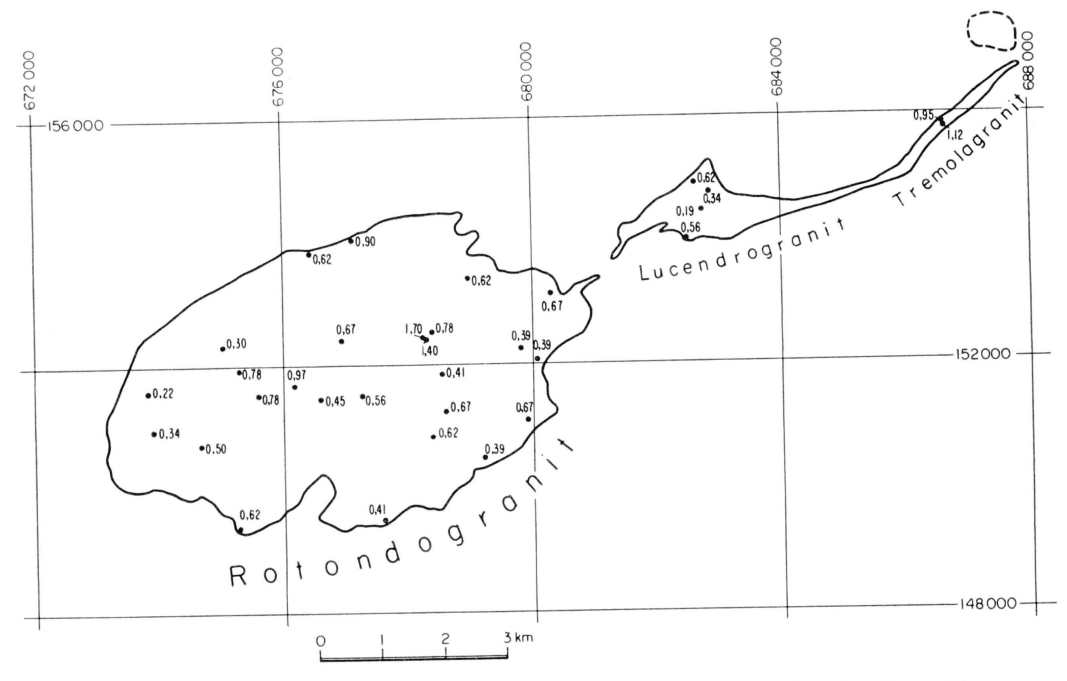


Fig. 6. CaO-Gehalte einiger Proben des Rotondogranits in Gew.%.

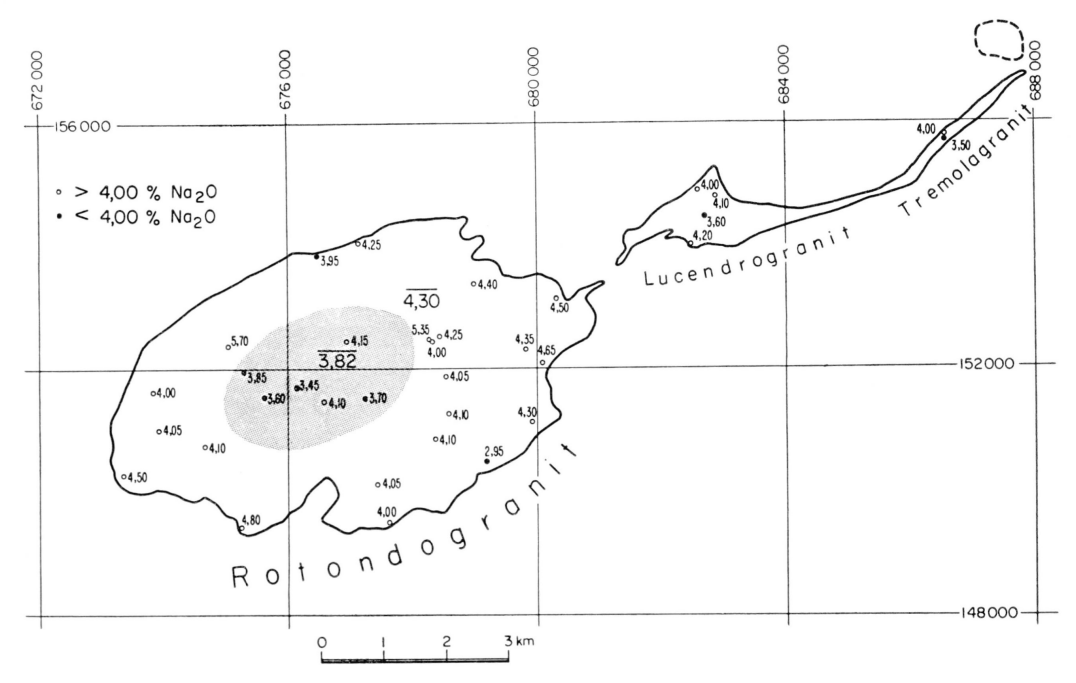


Fig. 7. Na<sub>2</sub>O-Gehalte einiger Proben des Rotondogranits in Gew.%. Die dunkle Fläche markiert den etwas Na-ärmeren Kern. Mittelwert im Kern: 3,82%, in der Randzone: 4,30%.

im Sinne zum Beispiel Sonders (1921, S. 341). Die früher mehrfach geäusserte Annahme, dass der Granit eine Natriumzufuhr in die Gesteine der Tremolaserie (südlich des Rotondogranits gelegene Paragesteinsserie) verursacht habe (Hezner, 1909; Niggli, 1929), findet vorläufig keine Bestätigung. Mehrere in Kontaktnähe gelegene Proben haben hingegen einen leicht erhöhten Gehalt der Summe der Alkalien.

Fig. 8 zeigt den aus der  $\gamma$ -Aktivität berechneten Uran-Thoriumgehalt des Rotondogranits. In der regionalen Verteilung der Aktivität spiegelt

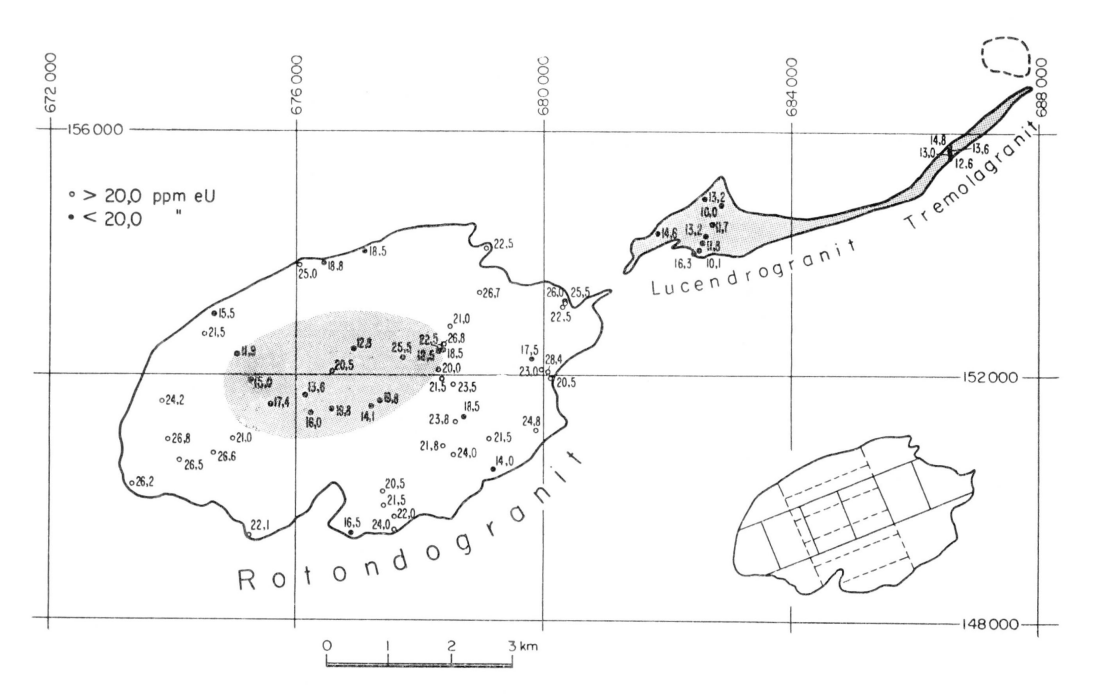


Fig. 8. Uran-Thoriumgehalte einiger Proben des Rotondogranits in ppm eU. Die dunkle Fläche markiert den deutlich U-Th-ärmeren Kern. Mittelwert im Kern: 17,0 ppm eU, in der Randzone 22,4 ppm eU. Im Kärtchen rechts ist das Netz eingezeichnet, das für die Bildung der Mittelwerte der Fig. 9 verwendet wurde.

sich ein deutlicher Zonarbau des Granitstocks wider. Fig. 9a und 9b geben ein Längs- und ein Querprofil durch das Massiv. Man beachte die Zunahme der  $\gamma$ -Aktivität und somit des Uran-Thoriumgehalts gegen die Randgebiete des Granits hin. Die Zonarverteilung entspricht sehr weitgehend derjenigen verschiedener in ähnlicher Hinsicht untersuchter Granitmassive: die vier kanadischen Batholite des Bourlamaque-Granodiorits, des Elzevir-Granodiorits, des Cheddar-Granits (Ingham und Keevil, 1951) und des Round-Lake-Granits (Slack and Whitham, 1951), ferner der Malsburger Granit im Südschwarzwald (Leible, 1959), haben

ganz ähnliche Kernpartien verhältnismässig niedriger Aktivität. Der Verteilung ist möglicherweise noch der Einfluss der morphologischen Verhältnisse überlagert. Eine deutliche Abhängigkeit der  $\gamma$ -Aktivität der Proben von der Meereshöhe (verschiedene Erosionsniveaus) konnten wir allerdings nicht feststellen (im Gegensatz zu Leible, 1959).

Die obengenannte Zonarstruktur bestimmt auch die statistische Verteilung der Radioaktivität im Granitkörper. Die Ansichten von Jeffreys (1952, S. 277) und Ahrens (1954), die eine logarithmische Verteilung im Sinne des III. Peirsonschen Gesetzes angegeben haben, konnten in unserem Falle nicht bestätigt werden.

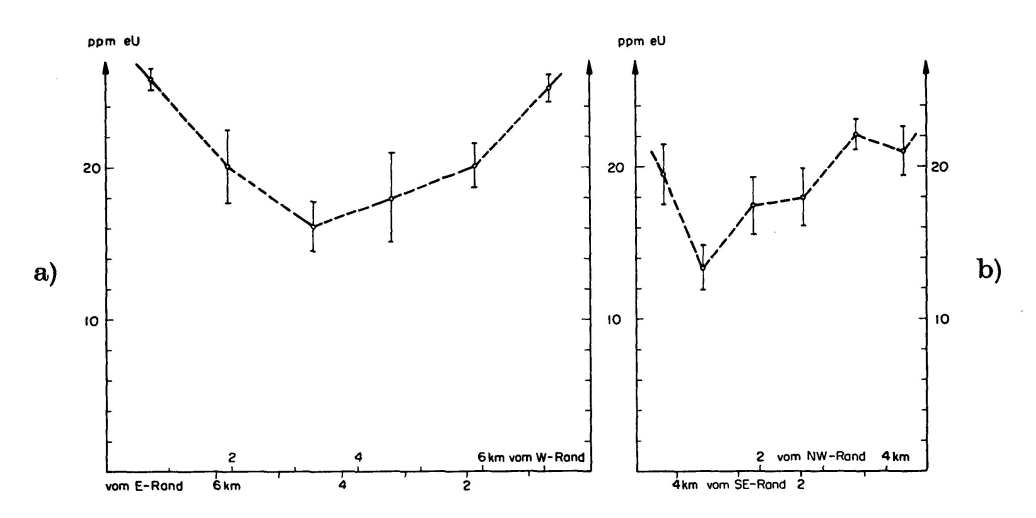


Fig. 9. U-Th-Profile durch das Rotondomassiv: a) West-Ost-Profil, b) Nord-Süd-Profil. Die Punkte sind Mittelwerte der Proben, welche in die Flächen des in Fig. 8 rechts unten angegebenen Netzes fallen. Die senkrechten Striche geben die mittleren Fehler an.

Über die Verteilung im Gefüge lässt sich folgendes sagen<sup>3</sup>): Anhand der zur Verfügung stehenden Daten über die durchschnittlichen Urangehalte gesteinsbildender Mineralien in Graniten (Larsen und Phair in Faul, 1954, S. 75; Picciotto, 1950), ferner anhand des von Grünenfelder und Hafner (1962) bestimmten Werts des Zirkons in der Chüebodenhorn-Probe lässt sich berechnen, dass mindestens die Hälfte der Aktivitätsträger intergranular vorhanden sein muss.

Die Radioaktivität des Rotondogranits ist im Vergleich zu anderen granitischen Gesteinen des Gotthardmassivs ausserordentlich hoch. Der

<sup>&</sup>lt;sup>3</sup>) Die gefügeanalytischen Daten des Rotondogranits siehe in Grünenfelder und Hafner (1962, Tab. 1).

Granit zeichnet sich von den Gesteinen herzynischen Alters, wie Fibbiaund Gamsbodengneis deutlich ab (vgl. Tab. 2). Wir sehen darin einen
weiteren Hinweis, dass der Rotondogranit mit den erwähnten herzynischen Granitgneisen vielleicht weniger verwandt ist, als es bisher angenommen wurde (vgl. auch Grünenfelder und Hafner, 1962). Die
Proben R 23 und R 24 (Tab. 3) betreffen die von Hafner (1958, S. 264)
angeführten Gneisschollen im Zentrum des Granitstocks. Dieser Gneiskörper besitzt scharfe Kontakte zum Granit. Die Probe R 24 ist nach
Mineralgehalt, Struktur und Textur dem Fibbiagneis sehr ähnlich. Die
Ähnlichkeit wird durch den hohen CaO-Gehalt beider Proben sowie
durch den niedrigen U-Th-Gehalt von Probe R 24 unterstrichen.

Tabelle 2. Uran-Thorium-Gehalte von granitischen Gesteinen des Gotthardmassivs (siehe auch Rybach und Hafner, 1962).

	$(\mathrm{U}+\mathrm{Th})_{\mathrm{ppm \ eU}}$	Pro- ben- zahl	Gew % Na <sub>2</sub> O	Gew % <b>K</b> <sub>2</sub> O	Gew % CaO	Pro- ben- zahl
Rotondogranit (Kern) ,, (Randzone) Lucendrogranit Tremolagranit Fibbiagneis	17,0 22,4 12,6 13,5 16,0	11 39 8 4 6	3,82 4,30 3,98 3,75 4,00	4,45 4,62 4,80 4,70	0,56 $0,43$ $1,04$ $1,40$	26 4 2 3

Interessant sind die  $\gamma$ -Aktivitätswerte des "Lucendrogranits" und des "Tremolagranits". Die beiden Granite sind bezüglich ihrer Aktivität eher dem Fibbiagneis ähnlich als dem Rotondogranit (Fig. 8 und Tab. 2). Würden sie mit Sicherheit einen Ausläufer des Rotondogranits darstellen, so sollte ihre Aktivität mindestens die Intensität der Randzone des Rotondomassivs erreichen, wie dies zum Beispiel bei einem ganz ähnlichen Ausläufer des Bourlamaque-Batholits der Fall ist. Immerhin haben Sonder (1921) und Hafner (1958) darauf hingewiesen, dass Lucendro- und Tremolagranit petrographisch dem Rotondogranit sehr gleichen, sich aber vom Fibbiagneis deutlich unterscheiden.

Die Arbeit wurde im Rahmen des Forschungsprogrammes des "Arbeitsausschusses für die Untersuchung schweizerischer Mineralien und Gesteine auf Atombrennstoffe und seltene Elemente" durchgeführt. Wir danken den Herren Professoren Th. Hügi, F. de Quervain sowie den Herren F. Waldner und Dr. M. Grünenfelder herzlich für ihre freundliche Mithilfe.

Tabelle 3. Radioaktivität, U-Th-, Na<sub>2</sub>O-, K<sub>2</sub>O- und CaO-Gehalte einiger Gesteinsproben des Rotondo-, Lucendro-und Tremolagranits. Analytiker: L. Rybach und M. Weibel.

$K = Mol.$ $K_2O$ $\frac{N_{82}O + N_2O}{O_2N + O_2N}.$					0,3915			0,4289		0,4226		,	0,4197		0,4356		0,4416		0,4446
OsO-Gehalt %.weD ni					0,67			1,74		1,40			0,50		0,34		0,22		0,62
K <sub>2</sub> O-Gehalt %.weD ni					4,40			6,10		4,45			4,50		4,75		4,80		4,80
Mag-Gehalt %.wəĐ ni					4,50			5,35		4,00			4,10		4,05		4,00		3,95
Restaktivität Us mqq ni		20,2	26,0	25,5	22,2	18,5		22,5		12,5	21,0		26,6	26,5	8,92		24,5	25,0	18,8
Restaktivität ∞ <sub>r</sub> (cpm/g)		1,543	1,953	1,911	1,712	1,421		1,710		0,953	1,591		2,013	1,991	2,047		1,824	1,899	1,426
TetivitalatoT (8\mqs) solo		1,812	2,222	2,180	1,965	1,690		2,060		1,219	1,860		2,272	2,260	2,320		2,100	2,168	1,702
төөМ төdü өdöН		2260	2580	2580	2570	2810		2760		2760	2390		2600	2440	2260		2200	2480	2700
Roordinaten		676.680/152.110	680.390/153.150	680.390/153.150	680.410/153.150	678.420/152.600		678.280/152.550		678.280/152.550	674.970/150.980		674.670/150.740	674.100/150.640	673.880/151.000		673.850/151.630	676.230/153.730	676.580/153.920
Verwitterungs-	nassiv	þ	၁	ಹ	ಡ	ದ		ದ		ದೆ	၁		ದೆ	q	ශ්		ದೆ	q	ಹ
Makroskopische Merkmale	Proben aus dem westlichen Hauptmassiv	grobkörnig	aplitisch	Normaltyp	quarzreich	Normaltyp	Scholle, stark vergneist,	quarzarm, biotitreich	Scholle, vergneist,	biotitreich	Normaltyp	biotitreich, leicht ver-	gneist	feinkörnig	Normaltyp	feinkörnig, leicht ver-	gneist	Normaltyp	Normaltyp
Nr. der Probe	oben a	23	17	18	19	21	23		24		20	51		52	53	54		55	99
	-Prc	四	ద	R	R	R	2		<u> </u>		<u>~</u>	껖		<b>A</b>	껖	R		R	~

Tabelle 3 (Forts.)

$\begin{aligned} & \text{OoM} &= \text{A} \\ & & \text{OgA} \\ & & & \\ & $	0.4024	0.3818	0.4048		0,4049	0,3999		0,4447	0.4302			0.3889	0.4431	-				0.4775	· · · · · · · · · · · · · · · · · · ·		0 4307	-	0.3837	0,4226
OaO-Gehalt %.weD ni	0,00	0.62	0.67		0,62	0,78		0,56	0,45			0,50	0.67					0.39			0.41	· · ·	0.39	0,41
Ms.O-Gehalt %.web ni	4,35	4,50	4,45		4,55	4,30		4,50	4,70			4,35	4.95					4.10			4.60	î	4.40	4,50
tladeD-OsaN %.weD <b>n</b> i	4,25	4,80	4,30		4,40	4,25		3,70	4,10			4,50	4.10					2.95			4.00	ì	4.65	4,05
tätivitästeA Ue mqq ni	18,5	22,1	24,8	22,5	26,7	8,92	25,6	14,1	19,8	21,5	15,5	26,5	20.8	18.5	22.0	21.5		14.0	24.0	16.0	24.0	20.0	28.4	23,5
Restaktivität «, (cpm/g)	1,400	1,669	1,865	1,692	2,000	2,013	1,933	1,078	1,493	1,619	1,181	1,968	1,570	1,396	1.651	1,631		1,072	1,799	1.210	1.803	1.501	2,120	1,784
Totalaktivität (%)	1,650	1,928	2,121	1,961	2,261	2,260	2,202	1,337	1,763	1,888	1,450	2,218	1,855	1,665	1,920	1,900	`	1,308	2,088	1,479	2,068	1,770	2,373	2,040
төөМ тәdü өйöН	2880	2700	2000	2740	2820	2760	2660	2690	2450	1840	2010	2575	2720	2720	2420	2690		2280	2390	2140	2290	2640	2400	2810
Koordinaten	677.180/153.980	675.220/149.400	679.900/151.100	679.340/154.290	678.960/153.260	678.450/152.820	676.850/152.260	677.400/151.660	676.690/151.450	674.600/152.650	674.730/152.850	673.350/150.280	678.670/151.260	678.760/151.290	677.630/149.710	677.425/149.930		679.250/150.490	678.560/150.680	676.270/151.470	677.630/149.490	677.270/151.600	680.150/152.100	678.560/151.820
-sgmunettiwneV barg	ದೆ	ပ	Q	Q	ಹೆ	ಡ	a	ಡ	Q	q	q	ස	ಹೆ	q	ပ	ပ		ъ	ပ	q	Ъ	යි	ပ	ශ්
edosiqoskorskaM elsmateM	Normaltyp	Normaltyp	Normaltyp	Normaltyp	leicht vergneist	feinkörnig	grobkörnig	grobkörnig	grobkörnig	aplitisch	grobkörnig	quarzreich	grobkörnig	Normaltyp	aplitisch	relativ grobkörnig	feinkörnig, deutlich	vergneist	Normaltyp	Normaltyp	aplitisch	Normaltyp	aplitisch	Normaltyp
Ar. der Probe	22	67	89	69	70	71	72	73	74	79	08	81	148	166	177	244	254		383	453	461	462	509	658

				-
0,4051	0,3885	0,1112 0,4750 0,4755 0,4799 0,4302	0,4256 0,4135 0,4514 0,4555 0,4590 0,4562	
0,39	0,67	0,30 0,97 0,78 0,78 0,62	0,62 0,56 0,19 0,12 0,12 0,95	
4,50	4,00	1,08 4,75 5,30 5,05 4,70	4,50 4,50 4,50 5,00 5,10	
4,35	4,15	5,70 3,45 3,85 3,60 4,10	4,00 4,20 3,60 4,10 4,00	
17,5 20,5 20,1	12,8 20,5 21,0 16,5 21,5	23,0 11,9 13,6 15,0 17,4	13,2 14,6 16,3 10,1 11,8 13,2 11,7 10,0 13,6 14,8	12,6
1,330 1,552 1,512	0,980 1,551 1,576 1,260 1,612 1,636	1,736 0,912 1,044 1,145 1,320 1,640	1,021 1,121 1,241 0,913 1,012 0,905 0,780 0,980 1,067 0,990	0,905
1,589 1,822 1,781	1,210 1,820 1,845 1,529 1,905	2,005 0,969 1,317 1,450 1,610 1,910	1,280 1,390 1,500 1,058 1,181 1,280 1,164 1,068 1,315 1,315	1,120
2580 2700 2800	2300 2380 2800 2390 2450 2200	2460 1960 2200 2000 2020 2620	2740 2690 2450 2450 2470 2495 2680 2963 2005 1970	1965
677.850/152.200 677.330/150.080 678.340/152.140	676.950/152.460 680.150/152.000 678.430/152.940 676.930/149.450 679.160/150.940 678.440/149.930	680.050/152.150 675.100/152.370 676.150/151.740 675.300/151.950 675.570/151.540 678.450/150.800	682.620/154.910 681.850/154.330 682.520/154.060 682.530/154.080 682.600/154.220 682.790/154.20 682.910/154.740 682.910/155.950 686.725/155.950	686.600/155.800
в <b>р</b>		77778	8 Q 0 0 0 0 0 8	ಡ
relativ grobkörnig, biotitarm Normaltyp grobkörnig	Normaltyp, etwas vergeneist aplitisch Normaltyp feinkörnig biotitreich Normaltyp	R 1078 aplitisch R 3871 Normaltyp R 5291 Normaltyp R 5431 grobkörnig R 6551 Normaltyp G-H Normaltyp	L 12 Normaltyp L 450 aplitisch L 451 Normaltyp L 452 Normaltyp L 456 Normaltyp L 456 Normaltyp L 509 biotitreich, leicht vergeneist  Proben aus dem "Tremolagranit" T 178 leicht vergneist T 1254 Normaltyp T 1254 Iseicht vergneist	Normaltyp
845		R 1078 R 3871 R 5291 R 5431 R 6551 G-H	L 12 L 450 L 451 L 452 L 454 L 456 L 509 L 509 T 178 T 1254	

#### Literaturverzeichnis

SMPM = Schweiz. Mineralog. und Petrogr. Mitteilungen.

- Ahrens, L. H. (1954): The lognormal distribution of the elements. Geochim. et Cosmochim. Acta 5, 49—73.
- FAUL, H. (1954): Nuclear Geology, New York.
- Grünenfelder, M. (1962): Mineralalter von Gesteinen aus dem Gotthardmassiv. SMPM 42, 6—7.
- GRÜNENFELDER, M. und HAFNER, S. (1962): Über das Alter und die Entstehung des Rotondogranits. SMPM 42, 169—207.
- Hafner, S. (1958): Petrographie des südwestlichen Gotthardmassivs (zwischen St.-Gotthardpass und Nufenenpass). SMPM 38, 255—362.
- HEZNER, L. (1909): Petrographische Untersuchungen der kristallinen Schiefer auf der Südseite des St. Gotthards (Tremolaserie). N. Jb. Min. etc. 27, 157—218.
- Ingham, W. and Keevil, N. (1951): Radioactivity of the Bourlamaque, Elzevir, and Cheddar Batholits, Canada. Bull. Geol. Soc. Amer. 62, 131—148.
- JEFFREYS, H. (1952): The Earth, Cambridge.
- KEEVIL, N. (1944): Thorium-uranium ratios in rocks and minerals. Amer. J. Sci. 242, 309—321.
- Leible, O. (1959): Die Verteilung der Radioaktivität, der Thorium- und Urangehalte im Malsburggranit (Südschwarzwald). Z. Erzbergb. u. Metallhüttenw. 12, 234—237.
- Mehnert, K. R. und Willgallis, A. (1957): Zum Alkalihaushalt der Granitisation im Schwarzwald an Hand flammenphotometrischen Reihenanalysen. N. Jb. Miner., Abh. 91, 104—130.
- (1961): Die Alkaliverteilung im Malsburger Granit (Südschwarzwald). Jh. geol. Landesamt Baden-Württemberg 5, 117—139.
- Niggli, P. (1929): Die chemisch-mineralogische Charakteristik der metamorphen Paragesteinsprovinz am Südrande des Gotthardmassivs. SMPM 9, 160—187.
- Picciotto, E. (1950): Distribution de la radioactivité dans un granite. Comptes rend. 230, 2282—2284.
- Rybach, L. (1961): Radiometrische Untersuchungen in der Misoxer Muldenzone. SMPM 41, 85—102.
- Rybach, L. und Hafner, S. (1962): Radioaktivitätsmessungen an Gesteinen des St. Gotthard-Profils. SMPM 42, 209—219.
- SLACK, H. and WHITHAM, K. (1951): A Further Investigation of the Radioactivity of the Round Lake and Elzevir Batholits. Trans. Am. Geophys. Union 32, 44—48.
- Sonder, R. (1921): Untersuchungen über den Differentiationsverlauf der spätpaläozoischen Granitintrusionen im zentralen und westlichen Gotthardmassiv. SMPM 1, 323—391, und Diss. Univ. Zürich.
- Weibel, M. (1961): Die Schnellmethoden der Gesteinsanalyse. SMPM 41, 285—294. Willgallis, A. (1957): Beiträge zur flammenphotometrischen Alkalianalyse von Gesteinen. Z. für analyt. Chem. 157, 249—257.
  - Institut für Geophysik und Institut für Kristallographie und Petrographie der ETH, Zürich.
  - Manuskript eingegangen am 4. Juli 1962.